

## 黃酸암모늄에 依한 $\alpha\text{-Al}_2\text{O}_3$ 의 黃酸化反応 (II)

朴容成 · 李鐵泰\* · 柳榮鴻

고려대학교 공과대학 화학공학과

\*단국대학교 공과대학 화학공학과

(1986년 2월 27일 접수, 1986년 4월 18일 채택)

## Reaction of $\alpha\text{-Al}_2\text{O}_3$ with Ammonium Sulfate(II)

Y. S. Park, C. T. Lee\* and Y. H. Yoo

Department of Chemical Engineering, Korea University

\*Department of Chemical Engineering, Dankook University

(Received 27 February 1986; accepted 18 April 1986)

### 요약

황산암모늄을 황산화제로 한  $\alpha\text{-Al}_2\text{O}_3$ 의 황산화반응에 대하여 연구하였다. 본 실험에서 이들 반응은 boat-batch system에서 수행되었으며 반응변수로서 반응온도, 황산암모늄의 양, 반응시간,  $\alpha\text{-Al}_2\text{O}_3$ 의 입도 및 air의 유량등을 선정하여 이들이  $\alpha\text{-Al}_2\text{O}_3$ 의 황산화반응에 미치는 영향을 조사하였다. 실험결과 본 황산화반응의 적당한 반응조건은 반응온도 350°C,  $\alpha\text{-Al}_2\text{O}_3$ 에 대한 황산암모늄의 mole비 10.0, 반응시간 2 h,  $\alpha\text{-Al}_2\text{O}_3$ 의 입도 -200 mesh였으며 이 조건 하에서  $\alpha\text{-Al}_2\text{O}_3$ 의 98.92%가 Ammonium Aluminum Sulfate로 전환되었다.

**Abstract**—The reaction of  $\alpha\text{-Al}_2\text{O}_3$  with  $(\text{NH}_4)_2\text{SO}_4$  was studied. These reactions were carried out in the boat-batch system under air atmosphere with such variables, reaction temperature, mole ratio of  $(\text{NH}_4)_2\text{SO}_4$  to  $\alpha\text{-Al}_2\text{O}_3$ , reaction time, particle size of  $\alpha\text{-Al}_2\text{O}_3$ , and air flow rate.

The proper conditions for the reaction were that reaction temperature 350°C, mole ratio of  $(\text{NH}_4)_2\text{SO}_4$  to  $\alpha\text{-Al}_2\text{O}_3$ , 10.0, reaction time 2h, and particle size of  $\alpha\text{-Al}_2\text{O}_3$ , -200mesh. Under those conditions, conversion of  $\alpha\text{-Al}_2\text{O}_3$  to Ammonium Aluminum Sulfate was 98.92%.

### 1. 서 론

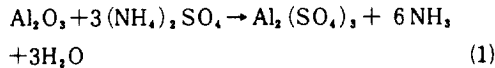
금속 알루미늄의 제조원료인  $\text{Al}_2\text{O}_3$ 는 Bayer process에 의해 bauxite로부터 제조되어 진다. 그러나 bauxite는 그 매장이 편재되어 있을 뿐 아니라, 부존량도 적은 까닭에 금속알루미늄의 수요증가에 따른 양질의 bauxite는 날로 공급이 어려워지고 있어

非 bauxite 계의 含 알루미늄 광물로부터 순수한  $\text{Al}_2\text{O}_3$ 의 제조에 관한 연구들이 최근 50년간 우리나라를 비롯하여 세계적으로 계속되고 있으나 아직 Bayer process에 버금가는 공정의 개발이 이루어지지 못하고 있다[1-6]. 그러므로 非 bauxite 광물인 kaolin이나 alunite 등으로부터  $\text{Al}_2\text{O}_3$ 를 제조할 수 있는 방법에 대한 연구는 이 분야산업에서 시급

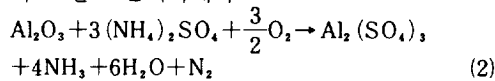
히 해결되어야 할 당면과제인 것이다. 前報[7]에 이어 본 연구에서는  $\alpha\text{-Al}_2\text{O}_3$ 와  $(\text{NH}_4)_2\text{SO}_4$ 의 황산화 반응에 있어서 반응온도,  $(\text{NH}_4)_2\text{SO}_4$ 의 양, 반응시간, 시료  $\alpha\text{-Al}_2\text{O}_3$ 의 입도 및 carrier gas로서의 air의 유량등을 반응변수로 하여 이들이 반응전화율에 미치는 영향을 검토하여  $(\text{NH}_4)_2\text{SO}_4$ 에 의한  $\alpha\text{-Al}_2\text{O}_3$ 의 적정조건을 조사하고 아울러 이 반응계에 대한 반응기구를 고찰하고자 한다.

## 2. $\alpha\text{-Al}_2\text{O}_3 - (\text{NH}_4)_2\text{SO}_4$ 반응계에 대한 이론적 고찰

$(\text{NH}_4)_2\text{SO}_4$ 에 의한  $\alpha\text{-Al}_2\text{O}_3$ 의 황산화에 대한 총괄반응은 inert 분위기에서

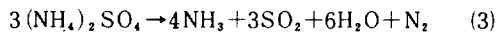


그리고 산소 존재하에서

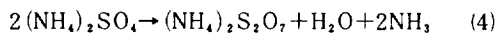


로 표현되며 각 반응에 대한 표준 자유에너지 변화량을 계산한 결과 (1)반응의 경우 반응온도 400°C 이상에서 (2)반응은 상온에서도 각각 그 전화가 열역학적으로 가능하여,  $\text{O}_2$  분위기하에서 그 반응의 가능성성이 훨씬 높을 것으로 추정되었다. 그러나 前報의 연구결과에 따르면 air분위기하에 반응온도 300~400°C,  $(\text{NH}_4)_2\text{SO}_4$ 의 mole비 6.0~12.0사이의 조건에서  $\alpha\text{-Al}_2\text{O}_3$ 의 황산화가 가능하였으나 그 생성물의 형태는  $\text{Al}_2(\text{SO}_4)_3$ 가 아니라  $(\text{NH}_4)_3\text{Al}(\text{SO}_4)_3$  및  $(\text{NH}_4)\text{Al}(\text{SO}_4)_2$ 의 형태로 확인되었으며 그외에 미반응의  $(\text{NH}_4)_2\text{SO}_4$ 와 그리고 그 중간 생성물로 보이는  $(\text{NH}_4)_3\text{H}(\text{SO}_4)_2$ 의 존재가 확인되었다. 그러므로 본 실험의 반응계에 대한 고찰은 반응식 (1)과 (2)의 형태로 고려되어야 할 것이 아니라 생성 가능한 물질을 기준으로 하는 반응기구가 고찰되어야 할 것이다.  $\alpha\text{-Al}_2\text{O}_3 - (\text{NH}_4)_2\text{SO}_4$  반응계에서  $\alpha\text{-Al}_2\text{O}_3$ 와  $(\text{NH}_4)_2\text{SO}_4$ 가 주된 반응물이며  $\alpha\text{-Al}_2\text{O}_3$ 가 단독으로 존재하는 경우 본 실험온도 영역인 500°C 이하에서는 매우 안정한 형태로 존재한다. 그러나  $(\text{NH}_4)_2\text{SO}_4$ 는 500°C 이하의 온도에서 이의 분해가 진행되며, 이 분해가 진행됨에 따라  $\alpha\text{-Al}_2\text{O}_3$ 의 황산화가 진행되는 것으로 볼 수 있으므로 생성

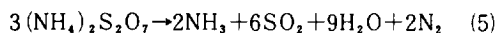
물인  $(\text{NH}_4)_3\text{Al}(\text{SO}_4)_3$  및  $\text{NH}_4\text{Al}(\text{SO}_4)_2$ 의 생성, 그리고  $(\text{NH}_4)_2\text{SO}_4$ 의 분해반응을 기준으로 본  $\alpha\text{-Al}_2\text{O}_3 - (\text{NH}_4)_2\text{SO}_4$  반응계를 고찰하고자 한다. 먼저  $(\text{NH}_4)_2\text{SO}_4$ 의 분해반응을 Halstead[8], 및 Kiyoura[9]의 연구결과를 종합해 보면  $(\text{NH}_4)_2\text{SO}_4$ 의 총괄 분해반응을



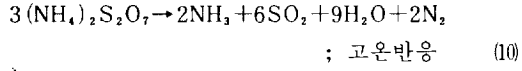
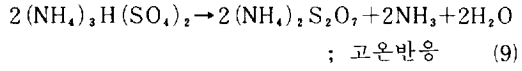
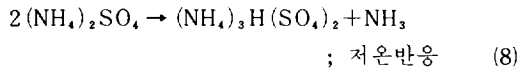
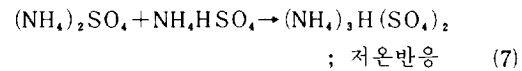
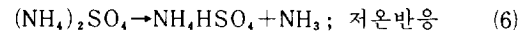
으로 표현하였고 이들의 반응은 온도조건에 따라서 300°C 부근에서



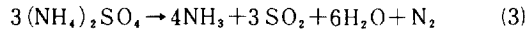
400°C 영역의 부근에서는



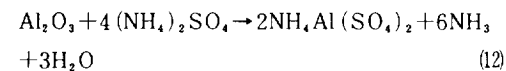
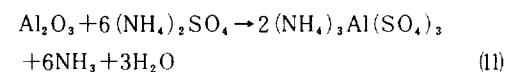
으로 된다고 하였으며 그외 중간 생성물로서  $(\text{NH}_4)_3\text{H}(\text{SO}_4)_2$ ,  $\text{NH}_4\text{HSO}_4$  등을 확인할 수 있다고 하였다. 이의 결과에 따라  $(\text{NH}_4)_2\text{SO}_4$ 의 분해반응은 다음과 같은 단계반응들로서 진행 가능하다고 고려할 수 있을 것이다.



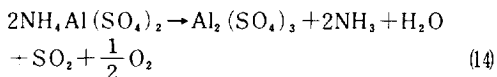
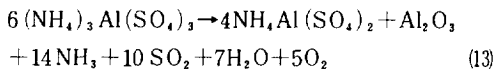
+



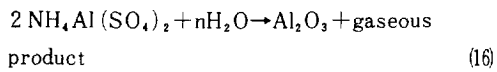
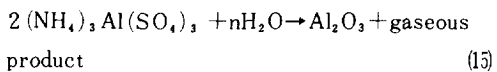
따라서 300~400°C 반응계는 중간 생성물로서  $\text{NH}_4\text{HSO}_4$ ,  $(\text{NH}_4)_3\text{H}(\text{SO}_4)_2$ ,  $(\text{NH}_4)_2\text{S}_2\text{O}_7$ ,  $\text{NH}_3$ ,  $\text{SO}_2$ ,  $\text{H}_2\text{O}$  등이 존재 가능하며 이를 성분과  $\alpha\text{-Al}_2\text{O}_3$ 의 반응이 고려되어야 할 것이다. 먼저 주 생성물의 형태로  $\alpha\text{-Al}_2\text{O}_3$ 의 황산화반응은 전보의 결과에 따라 다음과 같이



으로 표현될 수 있을 것이다. 그리고 이들 각 생성물은 고온에서 분해되어 질수도 있으므로 이때의 반응도 고려될 수 있다.



그러나 (14)의 반응은 前報[7]의 300~400°C의 온도 영역에서 생성물의 X-선 회절분석 결과 Al<sub>2</sub>(SO<sub>4</sub>)<sub>3</sub>의 존재가 확인되지 않으므로 이 반응은 본 실험 조건 하인 300~400°C에서는 진행되지 않는 것으로 고려된다. 그리고 또 하나의 생성물인 H<sub>2</sub>O가 주 반응 생성물과 반응하여



의 반응을 고려할 수도 있다. 그러나 (NH<sub>4</sub>)<sub>2</sub>SO<sub>4</sub>의 분해과정으로부터 H<sub>2</sub>O의 생성은 고온에서 유리하게 진행될 수 있는 점(반응 (9), (10))으로 보아 이 반응 (15), (16) 또한 고온에서 유리하게 진행될 것으로 보이며 분해 결과 Al<sub>2</sub>O<sub>3</sub>를 생성케 되므로 이 반응은 전화율 감소를 일으킬 수 있을 것이다.

따라서 이상의 반응 전반에 대한 고찰에서  $\alpha$ -Al<sub>2</sub>O<sub>3</sub>와 (NH<sub>4</sub>)<sub>2</sub>SO<sub>4</sub>의 반응은 여러 실험 조건에 따라 다양한 반응들이 전개될 것으로 사료되며 각각의 반응 조건 하에서 확인되어야 할 것이다.

### 3. 시료 및 방법

본 실험에 사용한 시료 및 실험방법은 前報[7]와 동일하다. 그리고 본 실험에서의 전화율의 결정을 위한 Al 분의 침출은 前報의 결과에 따라 1.0g  $\alpha$ -Al<sub>2</sub>O<sub>3</sub>의 황산화 생성물에 대해 물의량 200ml 침출온도 100°C, 침출시간 2h의 조건 하에서 실험하였다.

### 4. 결과 및 고찰

#### 4-1. 반응온도와 반응시간의 영향

반응온도 및 반응시간이 반응전화율에 미치는 영향을 검토하고자 (NH<sub>4</sub>)<sub>2</sub>SO<sub>4</sub>의 양을 前報[7]의 결과를 기준으로  $\alpha$ -Al<sub>2</sub>O<sub>3</sub>의 황산화에 충분한 양이 될 수 있는 양으로서  $\alpha$ -Al<sub>2</sub>O<sub>3</sub> 1.0g에 대해 (NH<sub>4</sub>)<sub>2</sub>SO<sub>4</sub>의 mole 비 10.0으로 고정하고 반응온도를 300

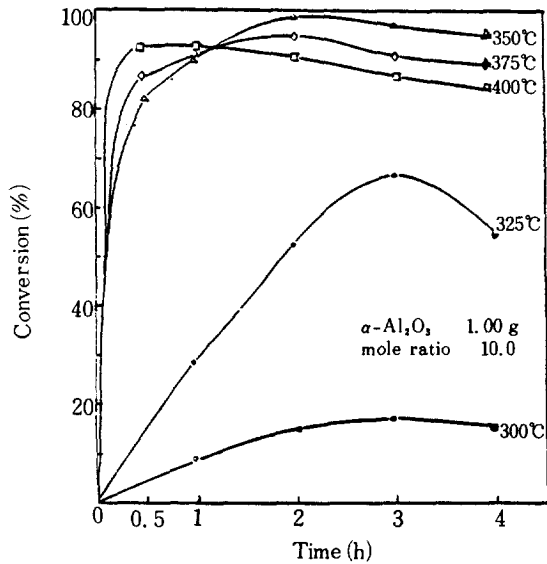


Fig. 1. Effect of temperature on the sulfating of  $\alpha$ -Al<sub>2</sub>O<sub>3</sub> with (NH<sub>4</sub>)<sub>2</sub>SO<sub>4</sub>.

°C에서 400°C까지 변화시키면서 시간에 따른 전화율을 조사하였다. 그 결과는 Fig. 1에 나타난 바와 같다. 이 결과에 따르면 반응온도 및 반응시간의 변화에 따른 전반적인 경향은 반응온도가 높아짐에 따라, 반응시간이 경과함에 따라 전화율이 증가되어 모두 각각의 반응조건에서 도달할 수 있는 최고 전화율에 도달하며 온도가 높을수록 최고전화율에 이르는 시간이 짧아진다. 그러나 일정 반응온도 이상의 조건 및 일정 반응시간 이상이 경과하는 경우 그 최고 전화율은 오히려 감소되어지는 결과를 나타내고 있다. 반응온도가 높아짐에 따라 최고점에 도달하는 시간이 짧아지는 현상은 반응온도가 고온이 될수록 (NH<sub>4</sub>)<sub>2</sub>SO<sub>4</sub>의 분해속도가 빨라져 전체 반응을 빠르게 하기 때문으로 이는 前報[7]에서  $\alpha$ -Al<sub>2</sub>O<sub>3</sub>와 (NH<sub>4</sub>)<sub>2</sub>SO<sub>4</sub>의 혼합물의 열분해 특성이 (NH<sub>4</sub>)<sub>2</sub>SO<sub>4</sub>만의 열분해 특성[8, 9]과 동일하게 나타나는 것으로서 알 수 있다. 한편 일정시간에 반응전화율이 최고점에 이른 후 다시 그 전화율이 감소하는 경향성의 원인은 Fig. 2의 시간변화에 따른 각 조건에서의 반응생성물에 대한 X-선 회절분석의 결과로 부터 검토될 수 있다. Fig. 2에 나타난 바와 같이 반응시간 2시간에서는 (NH<sub>4</sub>)<sub>3</sub>Al(SO<sub>4</sub>)<sub>2</sub> 및 (NH<sub>4</sub>)<sub>2</sub>H(SO<sub>4</sub>)<sub>2</sub>의 회절선만이 나타나지만 반응시간 3시간 이후에는 (NH<sub>4</sub>)<sub>3</sub>Al(SO<sub>4</sub>)<sub>2</sub>와 NH<sub>4</sub>Al(SO<sub>4</sub>)<sub>2</sub>의

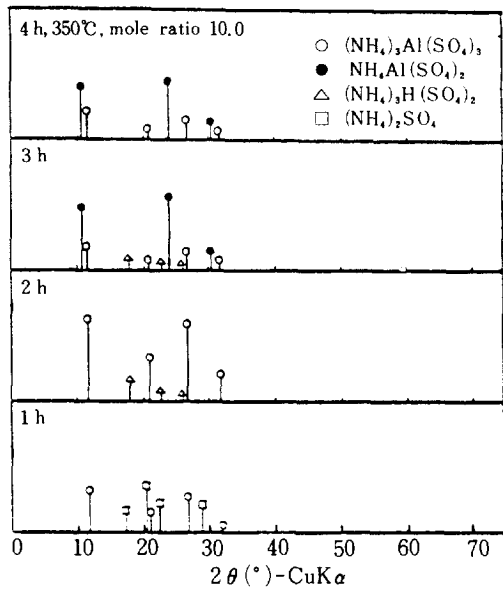


Fig. 2. X-ray diffraction diagrams of the products at various reaction time.

회절선이 동시에 나타나며 3시간의 경우  $(\text{NH}_4)_3\text{-H}(\text{SO}_4)_2$ 의 회절선이 감소되고 4시간에서는  $(\text{NH}_4)_3\text{-H}(\text{SO}_4)_2$ 의 회절선은 나타나지 않았다. 이러한 결과는 반응 system에서 일정 반응시간 이후의 최고 전화율 감소의 원인이  $(\text{NH}_4)_2\text{SO}_4$ 의 분해 및  $(\text{NH}_4)_2\text{SO}_4$ 의 분해 및  $(\text{NH}_4)_3\text{Al}(\text{SO}_4)_3$ 의 생성에 기인하는, 즉  $(\text{NH}_4)_2\text{SO}_4$ 에 의한  $\alpha\text{-Al}_2\text{O}_3$ 의 황산화반응의 특성 때문으로 사료된다. 다시 말해서 앞서 이론적 고찰에서의 300~400°C에서  $(\text{NH}_4)_2\text{SO}_4$ 의 분해반응을 고려해 볼때  $(\text{NH}_4)_3\text{H}(\text{SO}_4)_2$ 의 회절선은  $(\text{NH}_4)_2\text{SO}_4$ 의 분해가 (6), (7), (8) 반응으로 진행되어 반응계는  $\text{NH}_3$ 가 풍부한 반응분위기인 까닭에 (11)의 반응에 의해  $(\text{NH}_4)_3\text{Al}(\text{SO}_4)_3$ 의 생성이 유리하겠으나 시간이 경과함에 따라  $(\text{NH}_4)_3\text{H}(\text{SO}_4)_2$ 의 회절선의 감소 및 이 회절선이 나타나지 않는 것은  $(\text{NH}_4)_3\text{H}(\text{SO}_4)_2$ 의 분해반응인 (9), (10)에서  $\text{H}_2\text{O}$ 가 생성되며 본 반응계는 흐름이 거의 없는 관계로  $\text{NH}_3$ 의 생성량에 비해  $\text{H}_2\text{O}$ 의 생성량은 급격히 증가하게 되고 그 결과 반응분위기에 잔류하게 되는 이  $\text{H}_2\text{O}$ 는 생성된  $(\text{NH}_4)_3\text{Al}(\text{SO}_4)_3$  및  $\text{NH}_4\text{Al}(\text{SO}_4)_2$ 와 반응하여 반응식 (15), (16)의 반응에 의해 생성물  $(\text{NH}_4)_3\text{-Al}(\text{SO}_4)_3$  및  $\text{NH}_4\text{Al}(\text{SO}_4)_2$ 의 일부분을 다시  $\alpha\text{-Al}_2\text{O}_3$ 로 되돌아가게 할 것이다. 즉 각각의 조건에

서 최고점에 도달하는 시간 이후에는 잔존하는  $(\text{NH}_4)_2\text{SO}_4$ 의 양이 적어지므로 반응분위기는  $\text{NH}_3$ 의 양에 비하여  $\text{H}_2\text{O}$ 의 양이 많아지게 되어 일정시간 이후의 전화율감소를 초래하게 되는 것으로 사료된다. 그리고 일정온도 350°C 이상의 온도, 즉 375°C 및 400°C의 경우에서의 최고전화율이 350°C의 경우에 이르지 못하는 현상은 앞서 설명한 바와 같이 반응결과 생성된  $\text{H}_2\text{O}$ 에 의한 생성물  $(\text{NH}_4)_3\text{-Al}(\text{SO}_4)_3$  및  $\text{NH}_4\text{Al}(\text{SO}_4)_2$ 의 가수분해 반응에 기인함과 아울러 Fig. 3의 온도변화에 따른 X-선 회절분석도에서  $(\text{NH}_4)_3\text{Al}(\text{SO}_4)_3$ 는 375°C 이상에서 존재치 않는 바와 같이 375°C 이상의 고온에서는  $(\text{NH}_4)_3\text{Al}(\text{SO}_4)_3$ 가 불안정하기 때문에 반응식 (13)에 의해 이  $(\text{NH}_4)_3\text{Al}(\text{SO}_4)_3$ 가 자체 분해되고 이  $(\text{NH}_4)_3\text{-Al}(\text{SO}_4)_3$ 의 분해반응에서 또한  $\text{H}_2\text{O}$ 가 생성되어지기 때문이다. 고온에서 이의 분해반응은  $(\text{NH}_4)_3\text{-Al}(\text{SO}_4)_3$ 의 열분해에 대한 Nakaishi [10]의 연구에서도 잘 입증되고 있는 사실이다. 이 분해반응은 고온일수록 더욱 잘 진행되므로 600°C의 경우

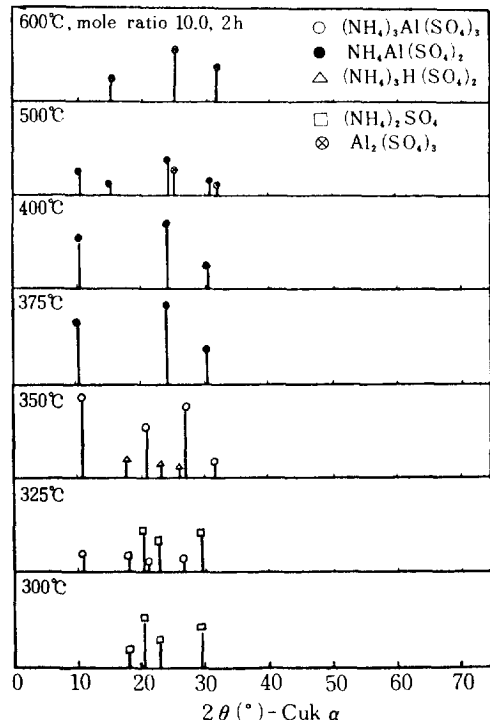
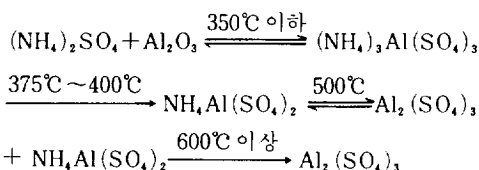


Fig. 3. X-ray diffraction diagrams of the products at various reaction temperature.

Al<sub>2</sub>(SO<sub>4</sub>)<sub>3</sub> 까지 분해되어지므로 H<sub>2</sub>O의 양은 더욱 늘어나 반응계에서 H<sub>2</sub>O의 분압은 크게 늘어나게 된다. 그 결과 이 H<sub>2</sub>O는 (NH<sub>4</sub>)<sub>3</sub>Al(SO<sub>4</sub>)<sub>3</sub> 및 NH<sub>4</sub>-Al(SO<sub>4</sub>)<sub>2</sub> 모두를 가수분해시키게 되어 반응의 전화율을 감소하게 되는 결과를 초래하게 되어 375°C 이상의 경우가 350°C 경우의 최고전화율에 이르지 못하는 것이다. 이상의 고찰을 통해서 볼때 (NH<sub>4</sub>)<sub>2</sub>SO<sub>4</sub>가 mole 비 10.0의 일정량 존재하는 경우 온도 변화에 따른 (NH<sub>4</sub>)<sub>2</sub>SO<sub>4</sub>-Al<sub>2</sub>O<sub>3</sub> 계의 평형은 다음과 같이 고려할 수 있을 것이다.



따라서 (NH<sub>4</sub>)<sub>2</sub>SO<sub>4</sub>에 의한  $\alpha$ -Al<sub>2</sub>O<sub>3</sub>의 황산화반응은 너무 고온이나 또는 장시간의 반응은 적당치 못함을 알 수 있으며 본 실험의 범위내에서 반응온도는 350°C, 반응시간 2 hr의 조건이 적당한 것으로 본다.

#### 4 - 2. (NH<sub>4</sub>)<sub>2</sub>SO<sub>4</sub>의 양의 영향

Fig. 4는 황산암모늄의 양이 반응에 어떠한 영향을 미치는 가를 조사하기 위해 반응온도를 350°C로 고정하고  $\alpha$ -Al<sub>2</sub>O<sub>3</sub> 1.0 gr에 대해 (NH<sub>4</sub>)<sub>2</sub>SO<sub>4</sub>의 양

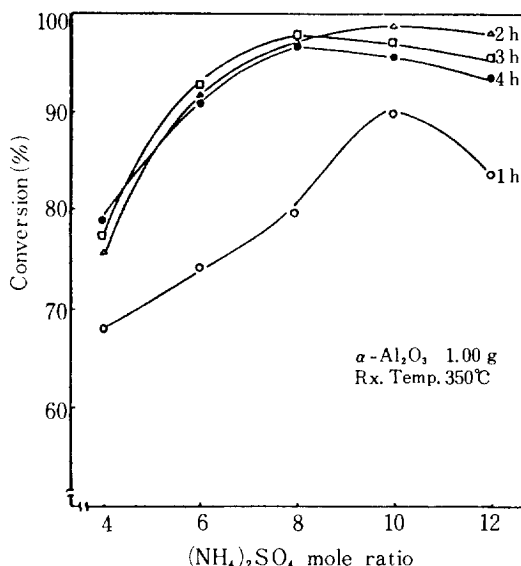


Fig. 4. Effect of (NH<sub>4</sub>)<sub>2</sub>SO<sub>4</sub> mole ratio on the sulfating of  $\alpha$ -Al<sub>2</sub>O<sub>3</sub> with (NH<sub>4</sub>)<sub>2</sub>SO<sub>4</sub>.

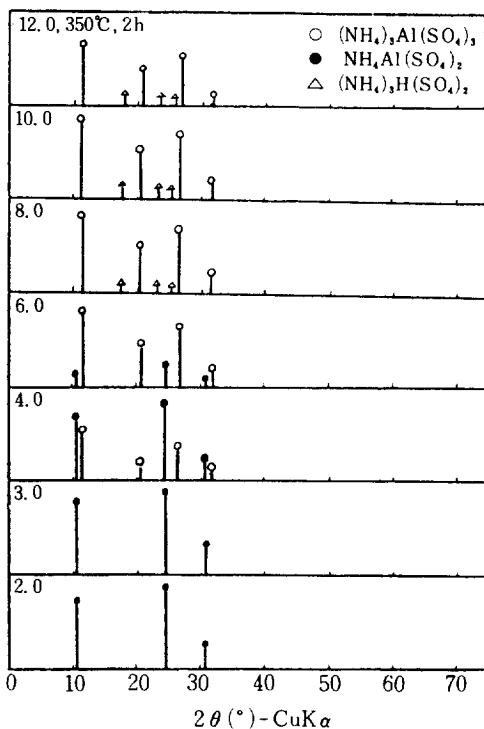
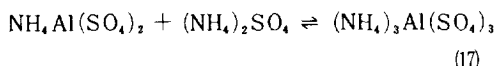


Fig. 5. X-ray diffraction diagrams of the products at various (NH<sub>4</sub>)<sub>2</sub>SO<sub>4</sub> mole ratio.

을 mole 비로써 4.0에서 12.0 까지 변화시킨 반응시간에 따른 그 전화율을 조사한 것이며, Fig.5는 반응온도 350°C, 반응시간 2 h, 조건하에서 (NH<sub>4</sub>)<sub>2</sub>SO<sub>4</sub>의 mole 비를 2.0에서 12.0 까지 변화시킨 반응생성물의 X-선 회절분석도이다. Fig. 4에 나타난 바와 같이 (NH<sub>4</sub>)<sub>2</sub>SO<sub>4</sub>의 mole 비가 증가함에 따라 그 전화율도 증가하여 mole비 10.0에서 최고전화율에 이른 후 다시 감소하는 경향을 나타내고 있으며 이 경우에도 일정시간 이후의 조건에서 최고점에도 달했던 전화율이 다시 감소하였으며 그 원인은 앞서 4-1에서 고찰한 바와 같은 원인으로 사료된다. (NH<sub>4</sub>)<sub>2</sub>SO<sub>4</sub>가 일정량이상 존재하는 경우 그 전화율이 감소하는 원인은 (NH<sub>4</sub>)<sub>2</sub>SO<sub>4</sub>의 자체분해에 기인하는데 있다. 앞서 이론적 고찰에서 언급한 바와 같이 (NH<sub>4</sub>)<sub>2</sub>SO<sub>4</sub>의 분해는 반응 (6), (7), (8)에 의해 진행되어지고 아울러 (NH<sub>4</sub>)<sub>3</sub>Al(SO<sub>4</sub>)<sub>3</sub>의 생성이 유리하게 진행되어지거나 (NH<sub>4</sub>)<sub>2</sub>SO<sub>4</sub>가 과량존재하는 경우  $\alpha$ -Al<sub>2</sub>O<sub>3</sub>를 황산화시키고 남는 양의 (NH<sub>4</sub>)<sub>2</sub>SO<sub>4</sub>는 반응 (9), (10)으로 (NH<sub>4</sub>)<sub>2</sub>S<sub>2</sub>O<sub>7</sub>까지 분해되어 이는 NH<sub>3</sub> 및 H<sub>2</sub>O로 분해되어 많은 양의 물을 만들

어내게 된다. 따라서 이  $H_2O$ 가 이미 생성된 주생성 물인  $(NH_4)_3Al(SO_4)_2$  및  $NH_4Al(SO_4)_2$ 를 가수분해시키기 때문으로 사료된다.  $(NH_4)_2SO_4$ 의 양의 변화에 따른 반응물의 형태를 도시한 Fig. 5를 고찰해 보면 본 반응계의 반응기구 및 일정량 이상의  $(NH_4)_2SO_4$ 가 존재하는 경우 그 전화율의 감소 원인을 알 수 있다. Fig. 5의 X-선 회절분석 결과 mole 비 4.0 및 6.0의 경우에는 나타나지 않는  $(NH_4)_3H(SO_4)_2$ 의 회절선이 mole 비 8.0에서 12.0 까지의 경우에는 존재하고 있다는 사실과 mole 비 10.0의 경우는 이미  $\alpha-Al_2O_3$ 가 거의 황산화 되었다는 점에서  $(NH_4)_2SO_4$ 는 과량 존재하고 있음은 확실한 사실이며 이 과량 존재하는  $(NH_4)_2SO_4$ 는 이론적 고찰에서의 반응 (6), (7), (8), 및 (9), (10)으로 분해가 진행되어  $(NH_4)_3H(SO_4)_2$ 가 존재하는 것이며 이는 계속 분해되어 총괄반응 (3)의 반응에 따르면 1 mole  $NH_3$ 에 대해 3 mole의  $H_2O$ 가 생성되어 가수분해의 영향이 커지므로 과량의  $(NH_4)_2SO_4$ 의 첨가는 반응의 전화율에 나쁜 영향을 주게 되는 것이다. 그리고 6.0과 8.0의 경우를 비교해 보면 6.0의 경우  $NH_4Al(SO_4)_2$ 의 회절선이 있으나 8.0 및 그 이상의 경우는 단지  $(NH_4)_3Al(SO_4)_2$ 의 회절선이 나타나고 있다. 이는 350°C 이하의  $NH_4Al(SO_4)_2 - (NH_4)_2SO_4 - (NH_4)_3Al(SO_4)_2$  계에는 다음과 같은 평형을 고려할 수가 있을 것이다.



3.0 이하의 경우  $(NH_4)_2SO_4$ 의 양이 충분치 않은 상태로서  $NH_4Al(SO_4)_2$ 의 존재가 안정하여 (17)의 정반응은 일어날 수가 없다. 그러나 이 경우  $(NH_4)_3Al(SO_4)_2$ 의 회절선이 나타나지 않음이  $(NH_4)_3Al(SO_4)_2$ 의 생성이 되지 않음이 아니라  $(NH_4)_2SO_4$ 의 양이 작은 까닭에  $NH_3$  분위기가 지속되지 못하고 생성된  $(NH_4)_3Al(SO_4)_2$ 가 곧 분해되는 결과로 사료된다. 따라서 본 실험에서 높은 전화율을 얻기 위해서는 반응온도 350°C의 조건 하에서 반응시간 2 h,  $(NH_4)_2SO_4$ 의 mole 비 10.0이 적합한 것으로 볼 수 있다.

#### 4 - 3. $\alpha-Al_2O_3$ 의 입도의 영향

Table 1은 시료의 입도가 전화율에 미치는 영향

Table 1. Effect of particle size.

Particle size	80/100	140/170	200/250	250/270	-325
Conversion (%)	91.10	95.24	98.29	99.08	99.53

을 조사하기 위해 반응온도 350°C,  $(NH_4)_2SO_4$ 의 mole 비 10.0, 반응시간 2 hr의 조건에서  $\alpha-Al_2O_3$ 의 입도를 80/100, 140/170, 200/250, 250/270, -325 mesh의 5 가지를 설정하여 이에 따른 각각의 전화율을 조사하였다.

반응의 전화율은 입자의 크기가 작을수록 증가하며 이는 예측할 수 있는 바와 같다. 즉 140/170 mesh의 경우 그 전화율이 95.24%, 250/270 mesh 이상의 경우 98% 이상에 이르고 있다. 그러므로 앞서의 실험의 전반적인 추세와 이의 결과를 비추어 볼 때  $\alpha-Al_2O_3$ 의 황산화반응의 결과를 광물에 적용하는 경우 공업적인 견지에서 광물의 입도는 대체로 -200 mesh 이상을 유지해야 할 것으로 사료된다. 따라서 이상의 실험결과를 통해서 볼 때  $\alpha-Al_2O_3$ 의  $(NH_4)_2SO_4$ 에 의한 황산화반응의 적절한 반응조건은 air flow rate 5 cm<sup>3</sup>/min의 air 분위기에서 반응온도 350°C,  $(NH_4)_2SO_4$  mole 비 10.0, 반응시간 2 h, 시료  $\alpha-Al_2O_3$ 의 입도 -200 mesh로 볼 수 있다.

#### 4 - 4. air 유량의 영향

앞서의 4-1, 4-2, 4-3에서의 반응은 air flow rate 5 cm<sup>3</sup>/min으로서 air의 흐름이 거의 없는 경우이므로  $\alpha-Al_2O_3 - (NH_4)_2SO_4$ 의 반응계에서 air의 흐름이 있는 경우 그 유량 및 흐름현상이 반응에 미치는 영향을 조사하기 위하여 반응온도 350°C,  $(NH_4)_2SO_4$ 의 mole 비 10.0의 조건 하에서 air의 유량을 30 cm<sup>3</sup>/min에서 100 cm<sup>3</sup>/min까지 변화시키면서 시간에 따른 그 전화율을 조사하였다. 그 결과는 Fig. 6과 같다. Fig. 6에 나타난 바와 같이 air의 유량변화는 반응전화율에 거의 영향을 미치지 않는 것으로 나타나고 있으나, air의 흐름이 있는 경우는 air의 흐름이 없는 경우에 비하여 반응시간 2 h 전에는 약간 낮은 전화율을 나타내었으며 최고전화율에 이른 후 전화율 감소현상이 나타나지 않고 반응시간 2 h에서 일어진 전화율을 그대로 유지하고 있는 것이다. 이러한 사실은 앞서 고찰한 바 있는

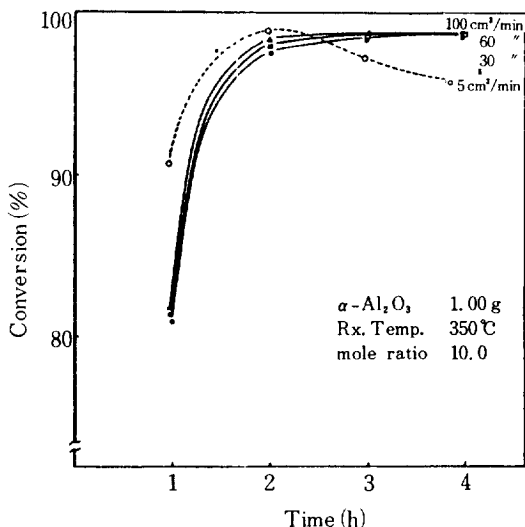


Fig. 6. Effect of flow rate of air on the sulfating of  $\alpha$ -Al<sub>2</sub>O<sub>3</sub> with (NH<sub>4</sub>)<sub>2</sub>SO<sub>4</sub>.

흐름이 거의 없는 경우에 전화율이 최고점에 이른 후 전화율이 다시 감소하는 이유가 H<sub>2</sub>O에 의한 반응생성물의 (NH<sub>4</sub>)<sub>2</sub>Al(SO<sub>4</sub>)<sub>2</sub> 및 NH<sub>4</sub>Al(SO<sub>4</sub>)<sub>2</sub> 가 수분해라는 반응기구를 확실히 입증해 주는 결과라고 보아야 할 것이다. 즉 흐름이 없는 경우의 반응계는 과잉으로 존재하는 (NH<sub>4</sub>)<sub>2</sub>SO<sub>4</sub>의 분해반응(6) - (10) 과 (NH<sub>4</sub>)<sub>2</sub>Al(SO<sub>4</sub>)<sub>2</sub> 및 NH<sub>4</sub>Al(SO<sub>4</sub>)<sub>2</sub>의 생성반응(11), (12) 및 생성된 반응생성물의 분해반응(13)에 의해 많은 양의 H<sub>2</sub>O가 생성될 수 있으며 흐름이 거의 없는 까닭에 반응분위기중의 H<sub>2</sub>O의 양은 더욱 증가되어 H<sub>2</sub>O의 가수분해 반응을 일으키게 되지만 흐름이 있는 경우는 생성된 H<sub>2</sub>O가 air의 흐름에 의해 반응분위기 밖으로 purge 되기 때문에 H<sub>2</sub>O에 의한 가수분해 반응은 일어날 수 없으며 아울러 최고 전화율에 이른 후 반응시간이 경과됨에 따라 전화율 감소경향도 일어나지 않는 것이다. 이러한 air의 흐름이 반응분위기에 영향을 미친다는 사실은 반응시간 2 h 전의 air의 흐름이 있는 경우의 전화율이 흐름이 없는 경우에 비해 거의 차이는 없으나 약간 낮게 나타나는 원인으로도 설명될 수 있다. 즉 반응의 전화율 및 초기 반응속도는 (NH<sub>4</sub>)<sub>2</sub>SO<sub>4</sub>의 분해에 직접적으로 영향을 받으며 이 분해반응에서 NH<sub>3</sub>의 생성이  $\alpha$ -Al<sub>2</sub>O<sub>3</sub>의 황산화를 유리하게 하지 만 반응 초기에 air의 흐름은 다른 gas 상의 반응물과 아울러 NH<sub>3</sub> 까지도 purge 시키는 결과가 되어  $\alpha$

-Al<sub>2</sub>O<sub>3</sub>의 황산화반응에 영향을 주기 때문에 사료된다.

## 5. 결 론

1. 적정 반응온도는 반응시간에 따라 차이가 있으나 350°C가 바람직하며 그 이상의 온도에서는 생성물인 (NH<sub>4</sub>)<sub>2</sub>Al(SO<sub>4</sub>)<sub>2</sub>의 분해반응이 우세하여 지므로 적합하지 못하다.

2. 황산암모늄의 양은 mole 비로 10.0이 적합하며 그 이상은 황산암모늄의 자체 열분해에 의해 H<sub>2</sub>O가 생성되고

$$3(\text{NH}_4)_2\text{SO}_4 \rightarrow 4\text{NH}_3 + 3\text{SO}_2 + 6\text{H}_2\text{O} + \text{N}_2$$
  
이 H<sub>2</sub>O에 의해 반응생성물의 가수분해반응이 일어나므로 적합치 못하다.

3. 시료  $\alpha$ -Al<sub>2</sub>O<sub>3</sub>의 입자가 작을수록 전화율은 증가하며 -200 mesh이면 충분한 효과를 기할 수 있다.

4. air의 유량은 전화율 자체에는 큰 영향을 주지 않으나 생성 gas 중 가수분해반응의 주된 원인인 H<sub>2</sub>O를 밖으로 배출시킴으로써 가수분해반응을 억제시킨다.

5. 이상의 결론에서 총괄적으로  $\alpha$ -Al<sub>2</sub>O<sub>3</sub>와 (NH<sub>4</sub>)<sub>2</sub>SO<sub>4</sub>의 반응에 대한 적정반응조건은 반응시간 2 h의 경우 반응온도 350°C, (NH<sub>4</sub>)<sub>2</sub>SO<sub>4</sub>의 mole 비 10.0이며 이때의 전화율은 98.92%이다.

## 감 사

본 연구는 한국과학재단 1985년도 후반기 학술연구비의 지원을 받아 이루어진 것입니다. 당재단에 대해 감사를 드립니다.

## REFERENCES

1. Semenko, N.P.: French Pat. 1519413 (1968).
2. Constantinescu, I.Gh. and Barca, Fr.: Bul, Inst. Politeh, 37, 29 (1975).
3. Westwood, W. and MacGregor, J. J.: Ger. offen. 2530719(1976).
4. Ejima, T., Shimakage, K. and Hoshi, M.: Keikinzoku, 27, 19(1977).

5. 맹중재, 김철주, 신병식 : *요업학회지*, **17**, 35 (1980).
6. 백용혁, 이종근 : *요업학회지*, **19**, 2, 157 (1982).
7. 박용성, 이철태, 유영홍 : *화학공학*, **24**, 291 (1986).
8. Halstead, W.D. : *J.Appl. Chem.*, **20**, 129 (1970).
9. Kiyoura, R. and Urano, K. : *Ind. Eng. Chem. Process Des. Dev.*, **9**, 529 (1973).
10. Nakaishi, T., Ishiyama, S., Yoshimura, J., Matsumoto, M. and Yoshinaga, S. : *J.Therm. Anal.*, **23**, 207 (1982).